

изотерм термического следа урагана [17] показывает, что в процессе их деформации наблюдается тенденция вырождения изотерм в овалы.

Автор выражает благодарность Р. И. Нигматулину за помощь при обсуждении и корректировке полученных результатов.

*Поступила 17 VII 1979*

#### ЛИТЕРАТУРА

1. Serrin J. The swirling vortex.— Phil. Trans. Roy. Soc., 1972, vol. A271, N 1214.
2. Шилова Е. И., Щербанин Э. В. Магнитогидродинамическая модель смерча.— Магнитн. гидродинамика, 1974, № 2.
3. Burggraf O. R., Foster M. R. Continuation or breakdown in tornado-like vortices.— J. Fluid Mech., 1977, vol. 80, N 4.
4. Hsu S. T., Tesfamariam H. Computer simulation of a tornado-like vortex boundary layer flow.— In: Proc. Summer Comput. Simulat. Conf. La Jolla, Calif., 1976.
5. Rotunno R. Numerical simulation of a laboratory vortex.— J. Atmos. Sci., 1977, vol. 34, N 12.
6. Smith R. K., Leslie L. M. Tornadogenesis.— Quart J. Roy. Meteorol. Soc., 1978, vol. 104, N 439.
7. Ward N. B. Rotational characteristics of a tornado cyclone.— In: 13th Radar Meteorol. Conf. Proc., Montreal, 1968. Boston, Mass., Amer. Meteorol. Soc., s. a. 94—97.
8. Devies-Jones R., Kessler E. Tornadoes. Weather and clim. Modif. N. Y., e. a., 1974.
9. Эйшанский А. М., Верчук В. М. О вращательном движении вязкой жидкости.— В сб.: Вероятностно-стат. методы в проектир. конструкций. Днепропетровск, 1974.
10. Заволженский М. В., Терсов А. Х. Вихрь у поверхности вязкой жидкости.— Изв. АН СССР. МГК, 1978, № 4.
11. Бейтмен Г., Эрдейи А. Высшие трансцендентные функции. Т. 1. М., Наука, 1974.
12. Наливкин Д. В. Ураганы, бури, смерчи. Л., Наука, 1969.
13. Kessler E. Tornadoes: state of knowledge.— Proc. ASCE. J. Struct. Div., 1978, vol. 104, N 2.
14. Williams G. P. Planetary circulation. I. Barotropic representation of Jovian and terrestrial turbulence.— J. Atmos. Sci., 1978, vol. 35, N 8.
15. Маричев О. И. Метод вычисления интегралов от специальных функций. Минск, Наука и техника, 1978.
16. Кую И. Л. Axisymmetric flows in the boundary layer of a maintained vortex.— J. Atmos. Sci., 1971, vol. 28, N 1.
17. Федоров К. Н. О медленной релаксации термического следа урагана в океане.— ДАН СССР, 1979, т. 245, № 4.

УДК 539.374

#### ЯВЛЕНИЕ КУМУЛЯЦИИ ПРИ ДИНАМИЧЕСКОМ ПРЕССОВАНИИ ПОРОШКОВЫХ МАТЕРИАЛОВ

*С. А. Баланкин, Л. П. Горбачев, Е. Г. Григорьев, Д. М. Скоров  
(Москва)*

Один из перспективных способов прессования порошковых материалов заключается в пропускании через поропок электрического тока большой плотности [1, 2]. Этот способ позволяет получать материалы высокой плотности с необходимыми свойствами. Получение контролируемой плотности спрессованных материалов достигается выбором параметров прессования: приложенного внешнего механического давления, амплитуды и длительности импульсов тока. Экспериментально установлен факт существования определенных параметров, при которых процесс становится нестабильным — происходит «выплеск» прессуемого материала из прессформы [1]. В данной работе рассматривается возможная причина возникновения «выплеска» и определяется область параметров, в которой такое явление имеет место.

Поведение порошкообразного материала при уплотнении под действием приложенного давления можно описать с помощью «модели полых сфер» [3]. При значениях компонент тензора скоростей деформаций  $10^3-10^5 \text{ с}^{-1}$  реологическое поведение материала порошка достаточно хорошо отвечает вязкопластической среде с упрочнением [3, 4]. В этом случае уравнение, определяющее изменение пористости прессуемого материала  $\alpha = v/v_m$ , где  $v$  — удельный объем порошка;  $v_m$  — удельный объем вещества порошка ( $\alpha > 1$ ), имеет вид [3]

$$(1) \quad -\frac{1}{3}(\alpha_0 - 1)^{-2/3} \frac{d}{d\alpha} \left\{ \frac{\dot{\alpha}^2}{2} [(\alpha - 1)^{-1/3} - \alpha^{-1/3}] \right\} = 1 - \frac{2}{3}\beta \times \\ \times \left\{ \ln \frac{\alpha}{\alpha - 1} + 3m \int_1^{\left(\frac{\alpha}{\alpha - 1}\right)^{1/3}} \left[ \frac{2}{3} \ln \left( 1 + \frac{\alpha_0 - \alpha}{(\alpha - 1)x^3} \right) \right]^n \frac{dx}{x} \right\} + \frac{4}{3Re_0} \frac{\dot{\alpha}}{\alpha(\alpha - 1)},$$

где  $Re_0 = (a_0/v) \sqrt{p/\rho}$ ;  $\beta = Y_0/p$ ;  $\tau = a_0 \sqrt{\rho/p}$ ;  $a_0$  — характерный размер пор;  $v$  — вязкость;  $\rho$  — плотность вещества порошка;  $p$  — внешнее давление прессования;  $\alpha_0$  — начальное значение пористости. Точка означает дифференцирование по безразмерному времени  $t/\tau$ . Закон упрочнения материала выбран в виде [3]

$$Y = Y_0 (1 + m(\bar{\varepsilon}^p)^n),$$

где  $Y_0$  — начальный предел текучести;  $m$ ,  $n$  — параметры упрочнения;  $\bar{\varepsilon}^p$  — накопленная пластическая деформация.

В зависимости от параметров  $Re_0$  и  $\beta$  уравнение (1) дает два качественно различных типа решения  $\alpha(t)$ : к первому типу относятся решения, определяющие конечное значение пористости при прессовании  $\alpha > 1$ , ко второму — такие, в которых конечное значение пористости  $\alpha = 1$  (бесспористый материал) и при этом  $\dot{\alpha} \neq 0$  (в момент  $\alpha = 1$ ). Анализ решений второго типа удобно проводить, исходя из соответствующего уравнения для изменения внутреннего радиуса  $a(t)$  «полой сферы», которое можно получить из уравнения (1), учитывая, что

$$\xi = \frac{a(t)}{a_0} = \left( \frac{\alpha(t) - 1}{\alpha_0 - 1} \right)^{1/3}, \quad u = \frac{da}{dt} \sqrt{\frac{\rho}{p}},$$

$u$  — безразмерная скорость движения внутреннего радиуса «полой сферы»;  $\xi$  — безразмерный внутренний радиус «полой сферы».

В таких обозначениях уравнение (1) имеет вид

$$(2) \quad \frac{du}{d\xi} + \frac{u}{\xi} \left( 2 - \frac{1}{2} \frac{1 - \varphi^{-4/3}}{1 - \varphi^{-1/3}} \right) + \frac{1}{u\xi} \left\{ 1 - \frac{2}{3}\beta \left[ \ln \varphi + 3m \times \right. \right. \\ \left. \left. \times \int_1^{\varphi^{1/3}} \left[ \frac{2}{3} \ln \left( 1 + \frac{1 - \xi^3}{\xi^3 x^3} \right) \right]^n \frac{dx}{x} \right] \right\} (1 - \varphi^{-1/3})^{-1} + \frac{4}{Re_0} \frac{1}{\xi^2} [\varphi(1 - \varphi^{-1/3})]^{-1},$$

где  $\varphi = 1 + 1/\xi^3(\alpha_0 - 1)$ .

Начальное условие к уравнению (2) (при  $t = 0$ ) есть  $\xi = 1$ ,  $u = 0$ . Особая точка этого уравнения ( $\xi = 0$ ,  $u^{-1} = 0$ ) является сложной и аналогична особой точке уравнения, описывающего захлопывание пузырька в вязкой жидкости [5]. Захлопывание поры в вязкопластическом материале возможно двумя путями: 1) за бесконечное время, при этом  $u \rightarrow 0$  и  $\xi \rightarrow 0$ ; 2) за конечное время с кумуляцией энергии в точке  $\xi = 0$ , при

в этом  $u \sim \xi^{-3/2}$ . Сепаратриса, разделяющая на фазовой плоскости различные семейства решений и сама являющаяся особым решением уравнения (2), определяет закон изменения скорости  $u = -8\xi^{-1}$ . Кумуляция энергии приводит к неограниченному нарастанию давления в момент захлопывания и образованию расходящейся ударной волны.

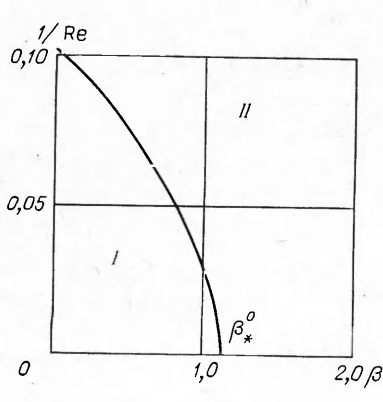
Экспериментально наблюдаемое явление «выплеска» материала из прессформы [1], по-видимому, связано с кумуляцией энергии при захлопывании пор в процессе электроимпульсного прессования.

Важно установить область параметров, приводящих к кумуляции при прессовании. Отметим, что для вязкой жидкости критический режим определяется одним параметром — критическим значением числа Рейнольдса  $Re_*$  [5]. Для вязкопластического материала, обладающего упрочнением, критическая область определяется как параметрами  $Re_*$ ,  $\beta_*$ , так и параметрами упрочнения  $m$  и  $n$ . Удобно рассматривать условия возникновения кумуляции в плоскости параметров  $(1/Re_0)$ ,  $\beta$ . На фиг. 1 показаны области, отвечающие параметрам с различными режимами прессования ( $\alpha_0 = 1,89$ ). Область I отвечает режиму с кумуляцией, область II — обычному режиму прессования с отличной от единицы конечной пористостью материала ( $\alpha > 1$ ). Линия  $(1/Re_*) = f(\beta_*, \alpha_0, m, n)$  ограничивает область параметров прессования, приводящих к кумуляции. Точка  $(1/Re_0) = 0$ ,  $\beta = 0$  отвечает рэлеевскому случаю захлопывания пузырька в идеальной жидкости. Точка  $(1/Re_0) = 0$ ,  $\beta = \beta_*^0$ , где

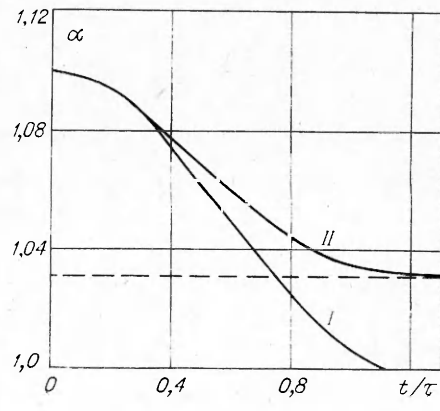
$$\beta_*^0 = \frac{3}{2} \left\{ \ln \frac{\alpha_0}{\alpha_0 - 1} + \frac{\ln \alpha_0}{\alpha_0 - 1} + \frac{3m}{\alpha_0 - 1} \int_1^{\alpha_0} d\alpha \int_1^{\alpha} \left[ \frac{2}{3} \ln \left( 1 + \frac{\alpha_0 - \alpha}{(\alpha - 1)x^3} \right) \right]^n \frac{dx}{x} \right\}^{-1}$$

соответствует критическому режиму кумуляции в пластическом порошкообразном материале с упрочнением без учета влияния вязкости. В общем случае функция  $f(\beta_*, \alpha_0, m, n)$  определяется численным интегрированием уравнения (2) для  $u(\xi)$  способом, аналогичным указанному в работе [5].

Влияние упрочнения материала на процесс прессования иллюстрируется фиг. 2, где приводится зависимость пористости  $\alpha(t)$  от времени, полученная численным интегрированием уравнения (1) для параметров:  $Re_0 = 10$ ;  $\beta = 0,2$ ,  $\alpha_0 = 1,1$ ;  $m = n = 0$  (кривая I);  $m = 4,8$ ,  $n = 0,8$  (кривая II) соответствует прессованию алюминия [3]). Упрочнение материала увеличивает конечную пористость спрессованных образцов, полу-



Фиг. 1



Фиг. 2

ченных при тех же условиях прессования, несколько возрастает и время достижения конечной пористости.

Результаты, представленные на фиг. 1, 2, получены для случая ступенчатого изменения давления и температуры, изменяющей вязкость  $\nu$  и предел текучести  $Y$  материала. При непрерывном изменении параметров  $Re(t)$  и  $\beta(t)$  во времени условие возникновения кумуляции содержит временные характеристики. В этом случае удобно проводить исследование, используя уравнение, определяющее изменение числа Рейнольдса  $Re = -aa/\nu$ . Непосредственно из (2) вытекает следующее уравнение:

$$(3) \quad \frac{1}{\nu} \frac{d Re}{dt} = \frac{Re^2}{a^2} \left( 1 - \frac{1}{2} \frac{1 - a^4/b^4}{1 - a/b} \right) + \frac{p - \frac{2}{3} Y_0 \left[ \ln(b/a)^3 + 3m \int_a^b (2 \ln r/r_0)^n \frac{dr}{r} \right]}{\rho \nu^2 (1 - a/b)} - \frac{4 Re}{a^2} \frac{1 - a^3/b^3}{1 - a/b}$$

( $b$  — внешний радиус полой сферы). При  $Y_0 = 0$ ,  $b \rightarrow \infty$  уравнение (3) переходит в уравнение, определяющее изменение числа Рейнольдса при захлопывании пузырька в вязкой жидкости [6]. К уравнению (3) при соединяем уравнения движения и несжимаемости

$$(4) \quad \frac{1}{\nu} \frac{da}{dt} = -\frac{Re}{a}, \quad b^3 = a^3 + (b_0^3 - a_0^3),$$

где  $b_0$ ,  $a_0$  — внешний и внутренний радиусы полой сферы при  $t = 0$ . Численное интегрирование системы (3), (4) с начальными условиями  $t = 0$ ,  $Re(0) = 0$ ,  $a(0) = a_0$  при заданном законе изменения внешних воздействий позволяет определить критические параметры кумуляции.

Оценку критического значения числа Рейнольдса, при котором возможна кумуляция, можно получить, используя квазистатическое приближение. В начальные моменты времени Рейнольдс мал, при этом инерционными членами в уравнении (3) можно пренебречь. Интегрирование системы (3), (4) в этом предположении дает изменение числа Рейнольдса во времени

$$(5) \quad Re(t) \simeq \frac{a^2(t) \left[ p(t) - \frac{2}{3} Y_0(t) \left[ \ln(b/a)^3 + 3m \int_a^b (2 \ln r/r_0)^n \frac{dr}{r} \right] \right]}{4 \rho \nu^2(t) (1 - a^3/b^3)}.$$

Соотношение (5) позволяет определить также и  $a(t)$ . При постоянном давлении  $p(t) = p_0$  и изменении  $\nu(t)$  и  $Y_0(t)$ , связанном с нагревом порошка, для  $\beta \ll 1$  выражение (5) дает

$$(7) \quad Re(t) \simeq \frac{a_0^2 p_0}{4 \rho \nu^2(t)} \exp \left( -\frac{p_0}{4 \rho} \int_0^t \frac{d\tau}{\nu(\tau)} \right).$$

Время  $\tau_T$ , за которое вязкость изменяется от значений при низких температурах [7] до вязкости жидкого металла, можно оценить с помощью соотношения

$$(6) \quad \rho c_p (\Delta T / \tau_T) \sim \frac{j_0^2}{\sigma},$$

где  $j_0$  — плотность тока;  $\sigma$  — проводимость порошка;  $c_p$  — теплоемкость вещества порошка;  $\Delta T$  — интервал изменения температуры.

Используем полученные соотношения (6), (7) для оценки значений чисел Рейнольдса, соответствующих двум качественно различным режимам прессования работы [1] с близкими значениями параметров прессования. Режим прессования с «выплюском» материала из прессформы — давление  $39 \text{ МН/м}^2$  (режим 6), режим обычного прессования без «выплюска» — давление  $26 \text{ МН/м}^2$  (режим 5). Остальные параметры одинаковы для обоих случаев: плотность тока  $j_0 = 5 \cdot 10^8 \text{ А/м}^2$ ,  $a_0 = 100 \text{ мк}$ ,  $1/\sigma = 10^{-6} \text{ Ом}\cdot\text{м}$ ,  $\rho = 7,6 \text{ г/см}^3$ . Изменение температуры  $\Delta T \sim 500^\circ\text{C}$ , значение вязкости при низких температурах ( $\nu=0,3 \text{ м}^2/\text{с}$ ) взято из работы [7]. Обозначения режимов взяты из работы [1]. Для режима с «выплюском» оценка дает  $Re \sim 11$ ; для режима без «выплюска»  $Re \sim 7$ .

Отметим, что изменение параметров  $Re$  и  $\beta$ , по-видимому, связано не только с джоулевым нагревом порошка, но и с электропластическим эффектом действия импульсов тока [8], который уменьшает предел текучести материала.

*Поступила 20 II 1979*

#### ЛИТЕРАТУРА

- Рыморов Е. В., Коган В. М., Радомысельский И. Д. Электроимпульсное спекание под давлением сложнолегированных износостойких материалов. — Порошковая металлургия, 1974, № 7.
- Сериков М. И., Следков А. А., Умрихин В. М. Электроимпульсное формование пермаллоевых порошков. — Порошковая металлургия, 1978, № 12.
- Butcher B. M., Carroll M. M., Holt A. C. Shock-wave compaction of porous aluminum. — J. Appl. Phys., 1974, vol. 45, N 9.
- Альшиц В. И., Инденбом В. Л. Динамическое торможение дислокаций. — УФИ, 1975, т. 115, вып. 1.
- Забабахин Е. И. Заполнение пузырьков в вязкой жидкости. — ПММ, 1960, т. 24, № 6.
- Григорьев Н. А., Доронин Г. С., Однокий В. Л. Действие импульса давления на полость в вязкой жидкости. — ПМТФ, 1978, № 2.
- Campbell J. O., Ferguson W. G. The temperature and strain-rate dependence of the shear strength of mild steel. — Philosophical Magazine, 1970, vol. 21, N 169.
- Троицкий О. А., Спицын В. И., Рыжков В. Г. Электропластическое волочение стали, меди и вольфрама. — ДАН СССР, 1978, т. 243, № 2.

УДК 620.172 : 620.171.3

#### ВЛИЯНИЕ ТЕМПЕРАТУРЫ НА КРИТИЧЕСКИЕ УСЛОВИЯ ОТКОЛЬНОГО РАЗРУШЕНИЯ МЕТАЛЛОВ

B. K. Голубев, C. A. Новиков, B. A. Синицын, Ю. С. Соболев

(Москва)

Вопрос о влиянии температуры на откольное разрушение металлов в настоящее время еще недостаточно изучен. Результаты немногочисленных экспериментальных исследований этого вопроса [1—4] крайне ограничены и весьма противоречивы. Если в работах [2, 4] отмечено снижение откольной прочности стали Ст. 3 и меди М1 при повышении температуры до  $500^\circ\text{C}$ , то в работах [1, 3] не было замечено влияния температуры на откольное разрушение алюминия.

В данной работе представлены результаты экспериментального исследования влияния температуры на критические условия откольного разрушения ряда конструкционных металлов: алюминия АД1, алюминиевых сплавов Д16 и АМг6, сталей Ст.3 и 12Х18Н10Т, титана ВТ14, меди М1 и никеля НП2 в широком температурном диапазоне ( $-196$ — $+800^\circ\text{C}$ ). Используемый экспериментальный метод основан на определении критической скорости удара пластины